

УДК 624.074.4:539.384.4

В. В. Рабанов, Л. П. Железнов

АЛГОРИТМ ИССЛЕДОВАНИЯ НЕЛИНЕЙНОГО ДЕФОРМИРОВАНИЯ
И УСТОЙЧИВОСТИ ПОДКРЕПЛЕННЫХ ЦИЛИНДРИЧЕСКИХ ОБОЛОЧЕК
ПРИ НЕОСЕСИММЕТРИЧНОМ НАГРУЖЕНИИ

Метод конечных элементов широко используется в задачах прочности оболочек. К задачам устойчивости оболочек метод начал активно применяться сравнительно недавно, хотя первые работы относятся к шестидесятым годам [1, 2]. В большинстве работ задачи решались в рамках классической схемы, т.е. при однородных исходных напряженных состояниях. В семидесятых годах появились работы [3, 4], в которых учитывалась неоднородность напряженно-деформированного состояния оболочек, обусловленная влиянием граничных условий. В работах [5, 6] рассмотрен случай действия неоднородных осесимметричных нагрузок. Устойчивость подкрепленных оболочек при однородном осесимметричном нагружении с частичным учетом моментности исходного состояния (без учета искривления образующих) исследовалась в [7, 8]. В данной статье разработан машинный алгоритм исследования нелинейного деформирования и устойчивости подкрепленных стрингерами и шпангоутами цилиндрических оболочек переменной толщины при произвольном неосесимметричном нагружении. Учитывается нелинейность исходного напряженно-деформированного состояния, нерегулярность и дискретность подкреплений как по продольной, так и по окружной координатам. Система нелинейных алгебраических уравнений равновесия решается методом последовательных приближений в сочетании с шаговым методом по нагрузке. Задача устойчивости решается в рамках статического критерия устойчивости с учетом нелинейности исходного состояния оболочек.

1. Уравнение нелинейного исходного состояния. Рассматрива-

ется задача нелинейного деформирования и устойчивости подкрепленных цилиндрических оболочек типа отсеков фюзеляжа самолета, нагруженных системой поверхностных сил q'_1, q'_2, q'_3 , локальных $P'_{1k}, P'_{2k}, P'_{3k}$ и моментами $M'_{1k}, M'_{2k}, M'_{3k}$. Оболочка разбивается на ζ четырехугольных криволинейных конечных элементов, ℓ - прямолинейных и K криволинейных стержневых элементов (рис. I).

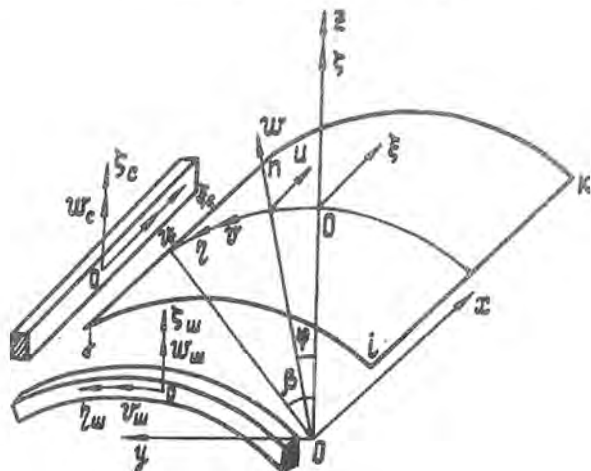


Рис. I

Согласно [I] зададим перемещения точек элемента полиномами, которые учитывают перемещения элемента как жесткого целого

$$\begin{aligned}
 u(\xi, \varphi) &= \alpha_1 \xi \varphi + \alpha_2 \xi + \alpha_3 \varphi + \alpha_4 - \alpha_5 S - \alpha_{20} (C - \cos \beta) \\
 v(\xi, \varphi) &= \alpha_5 \xi \varphi + \alpha_6 \xi C + \alpha_7 \varphi + \alpha_8 (1 - C \cdot \cos \beta) + \alpha_{20} \xi S \\
 w(\xi, \varphi) &= \alpha_9 \xi^3 \varphi^3 + \alpha_{10} \xi^3 \varphi^2 + \alpha_{11} \xi^3 \varphi + \alpha_{12} \xi^3 + \alpha_{13} \varphi^3 \xi^2 + \\
 &+ \alpha_{14} \xi^2 \varphi^2 + \alpha_{15} \xi^2 \varphi + \alpha_{16} \xi^2 + \alpha_{17} \xi \varphi^3 + \alpha_{18} \xi \varphi^2 + \alpha_{19} \xi \varphi + \\
 &+ \alpha_{20} \xi C + \alpha_{21} \varphi^3 + \alpha_{22} \varphi^2 + \alpha_{23} S + \alpha_{24} C + \alpha_8 S \cdot \cos \beta + \alpha_6 \xi S
 \end{aligned} \tag{I.I}$$

$$K_2 = R^{-1}, \quad \xi = K_2 x, \quad C = \cos \varphi, \quad S = \sin \varphi$$

$$u = K_2 u', \quad v = K_2 v', \quad w = K_2 w'.$$

В матричной форме (I.1) имеет вид

$$\tilde{u} = P \alpha, \quad (I.2)$$

где P - матрица связи, $\alpha = [\alpha_1, \alpha_2, \dots, \alpha_{24}]^T$ - вектор неизвестных коэффициентов полиномов, $\tilde{u} = [u, v, w]^T$ - вектор перемещений точек конечного элемента.

Используя решение работы [2], получаем с точностью до величин четвертого порядка малости выражение для перемещений и потенциальной энергии конечного элемента:

$$\begin{aligned} \tilde{u} &= P_1 \bar{u}, \quad \Pi = W_1 + W_2 + W_3 + W_4 - A \\ W_1 &= \frac{1}{2} \iint_S T_e^T \varepsilon_e ds, \quad W_2 = \frac{1}{2} \iint_S T_n^T \varepsilon_n ds \\ W_3 &= \frac{1}{2} \iint_S T_n^T \varepsilon_e ds, \quad W_4 = \frac{1}{2} \iint_S T_n^T \varepsilon_n ds \\ A &= \iint_S q^T \tilde{u} ds + A_K + A_B, \end{aligned} \quad (I.3)$$

где A_K - работа погонных контурных сил, A_B - работа сосредоточенных узловых сил, P_1 - матрица порядка (3x24), $\bar{u}^* = [u_i, v_i, w_i, w_{\xi i}, v_i^*, w_{\xi \varphi i}, u_j, v_j, w_j, w_{\xi j}, v_j^*, w_{\xi \varphi j}, u_k, v_k, w_k, w_{\xi k}, v_k^*, w_{\xi \varphi k}, u_n, v_n, w_n, \dots, w_{\xi \varphi n}]^T$ - вектор узловых перемещений конечного элемента, $v_k^* = w_{\varphi k} - v_k$, координаты в индексах означают дифференцирование. Запишем выражение энергии деформации и работы внешних сил для элемента шпангоута ($p = w$) и стрингера ($p = c$)

$$W_p = \frac{1}{2} \int \tilde{T}_p^T \tilde{\varepsilon}_p d\ell, \quad A_p = \int q_p \tilde{u}_p d\ell + A_{pB}, \quad (I.4)$$

где $\tilde{T}_p = [T_p, M_{p1}, M_{p2}, M_{p3}]^T$ - вектор внутренних усилий элемента подкреплений, $\tilde{\varepsilon}_p = [\varepsilon_p, \chi_{p1}, \chi_{p2}, \chi_{p3}]^T$ - вектор деформаций элемента подкреплений, $q_p = [q_{p1}, q_{p2}, q_{p3}]^T$ - вектор погонных контурных сил, приложенных к элементу подкрепления, $\tilde{u}_p = [u_p, v_p, w_p]^T$ - вектор перемещений точек центров тяжести сечений элемента подкрепления, A_{pB} - работа локальных сил, приложенных к элементу подкрепления.

Кинематические и статические соотношения для элемента подкреплений имеют вид

$$\begin{aligned} \tilde{\mathcal{E}}_p &= \tilde{A}_p \tilde{U}_p = (A_{p\ell} + A_{pn}) \tilde{U}_p = \tilde{\mathcal{E}}_{p\ell} + \tilde{\mathcal{E}}_{pn} \\ \tilde{T}_p &= \tilde{D}_p \tilde{\mathcal{E}}_p = \tilde{T}_{p\ell} + \tilde{T}_{pn}, \end{aligned} \quad (I.5)$$

$$\tilde{A}_{\text{ш}\ell} = \begin{bmatrix} -\ell_1(\cdot) & \psi(\cdot)_{\varphi} \ell(\cdot) \\ k_2 \ell \ell_1(\cdot) & 0 - \psi^2 k_2(\cdot)_{\varphi\varphi} - k_2 \ell^2(\cdot) - k_2 \ell_1 \beta \\ k_2 \psi \ell(\cdot)_{\varphi} & 0 \psi k_2 \ell_1(\cdot)_{\varphi} - \psi k_2 \beta \varphi \\ -k_2 \psi^2(\cdot)_{\varphi\varphi} - k_2 \ell_1^2(\cdot) & 0 k_2 \ell \ell_1(\cdot) - k_2 \ell \beta \end{bmatrix}$$

$$A_{c\ell} = \begin{bmatrix} 0 & (\cdot)_{\xi} & 0 \\ 0 & 0 & -k_2(\cdot)_{\xi\xi} \\ 0 & 0 & -\psi k_2(\cdot)_{\xi\varphi} \\ -k_2(\cdot)_{\xi\xi} & 0 & 0 \end{bmatrix}, \quad \tilde{D}_p = \begin{bmatrix} EF_p & 0 & 0 & 0 \\ 0 & EJ_{p1} & 0 & 0 \\ 0 & 0 & GJ_{pp} & 0 \\ 0 & 0 & 0 & EJ_{p2} \end{bmatrix} \quad (I.6)$$

Здесь: $U_p = k_2 u'_p, \quad v_p = k_2 v'_p, \quad w_p = k_2 w'_p.$

$$\beta = w_{\xi}, \quad \ell = \cos \alpha, \quad \ell_1 = \sin \alpha, \quad \psi = \frac{1}{(1 - \bar{e})}, \quad \bar{e} = k_2 e,$$

e - эксцентриситет подкрепления; α - угол между главными осями инерции поперечного сечения подкрепления и локальными координатами оболочки (фиг. 2); $F_p, J_{pp}, J_{p1}, J_{p2}$ - площадь сечения, полярный момент инерции, максимальный и минимальный моменты инерции сечения элемента подкрепления; E_p, G_p - модули упругости и модули сдвига элемента подкрепления.

Представим $\tilde{\mathcal{E}}_{pn}$ в виде

$$\tilde{\mathcal{E}}_{pn} = [\mathcal{E}_{pn}, 0, 0, 0]^T, \quad \mathcal{E}_{pn} = \frac{1}{2} (\mathcal{E}_{p\ell}^2 + \omega_{p1}^2 + \omega_{p2}^2) \quad (I.7)$$

$$\omega_{\text{ш}1} = \ell v_{\text{ш}} - \psi (w_{\text{ш}})_{\varphi}, \quad \omega_{\text{ш}2} = \ell_1 v_{\text{ш}} - \psi (u_{\text{ш}})_{\varphi}$$

$$\omega_{c1} = \ell v_c - (w_c)_{\xi}, \quad \omega_{c2} = \ell_1 v_c - (u_c)_{\xi}. \quad (I.8)$$

Продельвая несложные преобразования в (I.7), подставляя (I.8)

в (I.7), находим

$$\begin{aligned} \mathcal{E}_{\text{ш}n} &= \frac{\psi^2}{2} ((w_{\text{ш}})_{\varphi}^2 + (u_{\text{ш}})_{\varphi}^2 + (v_{\text{ш}})_{\varphi}^2) + \frac{1}{2} \{ \ell_1^2 (u_{\text{ш}})^2 + \ell^2 w_{\text{ш}}^2 - 2\ell_1 \psi u_{\text{ш}} (v_{\text{ш}})_{\varphi} + \\ &+ 2\ell \ell_1 u_{\text{ш}} w_{\text{ш}} + 2\ell \psi (v_{\text{ш}})_{\varphi} w_{\text{ш}} + v_{\text{ш}}^2 - 2\ell v_{\text{ш}} \psi (w_{\text{ш}})_{\varphi} - 2\ell_1 \psi v_{\text{ш}} (u_{\text{ш}})_{\varphi} \}, \\ \mathcal{E}_{cn} &= \frac{1}{2} ((u_c)_{\xi}^2 + (w_c)_{\xi}^2 + (v_c)_{\xi}^2) + \frac{1}{2} \{ v_c^2 - 2\ell v_c (w_c)_{\xi} - 2\ell_1 v_c (u_c)_{\xi} \}. \end{aligned} \quad (I.9)$$

Оставляя в выражениях для $\epsilon_{шн}$, $\epsilon_{сн}$ главные слагаемые, игнорирующие квадраты углов поворота U_ξ , U_φ , w_ξ , w_φ , v_ξ , v_φ , получаем

$$\begin{aligned} \epsilon_{шн} &= \frac{1}{2} \psi^2 ((u_w)_\varphi^2 + (w_w)_\varphi^2 + (v_w)_\varphi^2) \\ \epsilon_{сн} &= \frac{1}{2} ((u_c)_\xi^2 + (v_c)_\xi^2 + (w_c)_\xi^2). \end{aligned} \quad (I.10)$$

Следовательно:

$$A_{шн} = \begin{bmatrix} \frac{\psi^2}{2} ()_\varphi^2 & \frac{\psi^2}{2} ()_\varphi^2 & \frac{\psi^2}{2} ()_\varphi^2 \\ 0 & 0 & 0 \\ 0 & 0 & 0 \\ 0 & 0 & 0 \end{bmatrix}, \quad A_{сн} = \begin{bmatrix} \frac{1}{2} ()_\xi^2 & \frac{1}{2} ()_\xi^2 & \frac{1}{2} ()_\xi^2 \\ 0 & 0 & 0 \\ 0 & 0 & 0 \\ 0 & 0 & 0 \end{bmatrix} \quad (I.11)$$

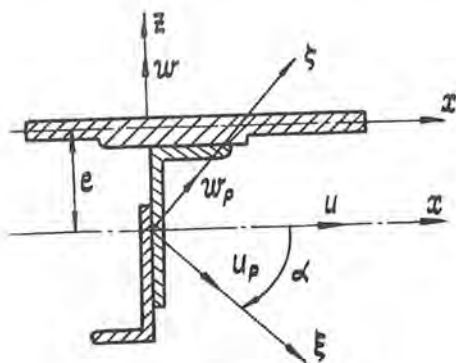


Рис. 2

Согласно рис. 2 находим

$$\begin{aligned} u_w &= l u - l_1 w + \bar{e} l w_\xi, & u_c &= l v - l_1 w + \bar{e} l w_\varphi \\ v_w &= v(1 - \bar{e}) + \bar{e} w_\varphi, & v_c &= u + \bar{e} w_\xi \\ w_w &= l w + l_1 u + \bar{e} l w_\xi, & w_c &= l w + l_1 v + e l w_\varphi. \end{aligned} \quad (I.12)$$

Тогда

$$\mathcal{E}_n = \frac{1}{2} \bar{B} \bar{\mathcal{E}}, \quad \bar{\mathcal{E}}^T = \{w_\xi, w_\varphi\}, \quad \bar{\mathcal{E}} = \bar{P}^* \bar{u}, \quad \bar{P}^* = P^* B^{-1}$$

$$\bar{B}^T = \begin{bmatrix} w_\xi & 0 & w_\varphi \\ 0 & w_\varphi & w_\xi \end{bmatrix}, \quad (I)$$

$$\mathcal{E}_{шн} = \frac{\psi^2}{2} w_\varphi^2 + \left\{ \frac{\psi^2}{2} (u_\varphi^2 + \frac{v_\varphi^2}{\psi^2} + 2\bar{e} u_\varphi w_{\xi\varphi} + 2\bar{e} v_\varphi w_{\varphi\varphi} + \bar{e}^2 w_{\xi\varphi}^2 + \bar{e}^2 w_{\varphi\varphi}^2) \right\}$$

$$\mathcal{E}_{сн} = \frac{1}{2} w_\xi^2 + \frac{1}{2} \left\{ u_\xi^2 + v_\xi^2 + 2\bar{e} v_\xi w_{\xi\varphi} + 2\bar{e} u_\xi w_{\xi\xi} + \bar{e}^2 w_{\xi\varphi}^2 + \bar{e}^2 w_{\xi\xi}^2 \right\}$$

Пренебрегая величинами в фигурных скобках как малыми по сравнению с w_ξ^2 , w_φ^2 , получаем

$$\mathcal{E}_{шн} = \frac{\psi^2}{2} w_\varphi^2, \quad \mathcal{E}_{сн} = \frac{1}{2} w_\xi^2, \quad w_\xi = \bar{P}_1^* \bar{u}, \quad w_\varphi = \bar{P}_2^* \bar{u}$$

$$\bar{P}_1^* = P_1^* B^{-1}, \quad \bar{P}_2^* = P_2^* B^{-1}, \quad (II)$$

где P_1^* , P_2^* — матрицы порядка (1×24) , P^* — матрица порядка (2×24) :

$$\delta \mathcal{E}_n = B \delta \bar{\mathcal{E}}, \quad \delta \mathcal{E}_{шн} = \psi^2 w_\varphi \delta w_\varphi, \quad \delta \mathcal{E}_{сн} = w_\xi \delta w_\xi. \quad (III)$$

В матричной форме

$$\tilde{u}_w = \tilde{B}_w \tilde{u}, \quad \tilde{u}_c = \tilde{B}_c \tilde{u} \quad (IV)$$

$$\tilde{B}_w = \begin{bmatrix} l & 0 & -l_1 + e l (\)_\xi \\ 0 & \frac{1}{\psi} & \bar{e} (\)_\varphi \\ l_1 & 0 & l + \bar{e} l_1 (\)_\xi \end{bmatrix}, \quad \tilde{B}_c = \begin{bmatrix} 0 & l & -l_1 + \bar{e} (\)_\varphi \\ 1 & 0 & \bar{e} (\)_\xi \\ 0 & l_1 & l + \bar{e} l_1 (\)_\varphi \end{bmatrix}.$$

Подставляя (I.16) в (I.5), находим

$$\tilde{\mathcal{E}}_p = \tilde{A}'_p \tilde{u} = (\tilde{A}'_{pe} + \tilde{A}'_{pn}) \tilde{u}, \quad \tilde{T}_p = \tilde{D}_p (\tilde{A}'_{pe} + \tilde{A}'_{pn}) \tilde{u} \quad (V)$$

$$\tilde{A}'_{pe} = \tilde{A}_{pe} \tilde{B}_p, \quad \tilde{A}'_{pn} = \tilde{A}_{pn} \tilde{B}_p.$$

Полученные выражения используются для записи уравнения локальной энергии элемента подкреплений, которые представим в

$$P_p = W_{p1} + W_{p2} + W_{p3} + W_{p4} - A_p$$

$$W_{p1} = \frac{1}{2} \int_{\xi} \tilde{T}_{p\ell}^T \tilde{E}_{p\ell} d\ell, \quad W_{p2} = \frac{1}{2} \int_{\xi} \tilde{T}_{p\ell}^T \tilde{E}_{pn} d\ell \quad (I.18)$$

$$W_{p3} = \frac{1}{2} \int_{\xi} \tilde{T}_{pn}^T \tilde{E}_{p\ell} d\ell, \quad W_{p4} = \frac{1}{2} \int_{\xi} \tilde{T}_{pn}^T \tilde{E}_{pn} d\ell$$

$$A_p = \int_{\xi} q_p \tilde{u}_p d\ell + A_{p\delta}$$

Суммируя потенциальные энергии отдельных элементов, получим полную потенциальную энергию оболочки

$$U = \sum_{i=1}^N (W_1 + W_2 + W_3 + W_4 - A) + \sum_{i=1}^K (W_{p1} + W_{p2} + W_{p3} + W_{p4} - A_p) \quad (I.19)$$

Выполняя варьирование в (I.19), согласно принципу возможных перемещений ($\delta U = 0$), с учетом (I.13), (I.14) получаем следующую систему нелинейных уравнений равновесия для оболочки:

$$U = \left\{ \sum_{i=1}^N [(K_u + K_1 + 2K_1^T + K_2) \bar{u} - Q] + \sum_{i=1}^{L+K} [(K_p + K_{p1} + 2K_{p1}^T + K_{p2}) \bar{u} - Q_p] \right\} = 0, \quad K_u = D_1 k_2^2 (B^{-1})^T \iint_S P^T A_e^T \bar{D} A_e P ds B^{-1} \quad (I.20)$$

$$K_1 = \frac{1}{2} D_1 k_2^2 (B^{-1})^T \iint_S P^T \tilde{A}_e^T \bar{D}^* \bar{B} P^* ds B^{-1}$$

$$K_2 = \frac{1}{2} D_1 k_2^2 (B^{-1})^T \iint_S (P^*)^T \bar{B}^T \bar{D}^* \bar{B} P^* ds B^{-1}$$

$$K_3 = D_1 k_2^2 \iint_S q^T P ds B^{-1} + Q_K + Q_B$$

$$K_w = D_1 k_2^2 (B^{-1})^T \int_{\xi} P^T (\tilde{A}'_{w\ell})^T \bar{D}_w \tilde{A}'_{w\ell} P d\varphi B^{-1} \Big|_{\xi=\pm a}$$

$$K_{w1} = \frac{1}{2} D_1 k_2^2 (B^{-1})^T \int_{\xi} \psi P^T (\tilde{A}^*_{w\ell})^T D_w^* w_{\varphi} P_2^* d\varphi B^{-1} \Big|_{\xi=\pm a}$$

$$K_{w2} = \frac{1}{2} D_1 k_2^2 (B^{-1})^T \int_{\xi} \psi^3 (P_2^*)^T w_{\varphi} D_w^* w_{\varphi} P_2^* d\varphi B^{-1} \Big|_{\xi=\pm a}$$

$$K_{w\delta} = D_1 k_2^2 \int_{\xi} \frac{1}{\psi} q_w^T \tilde{B}_w P d\varphi B^{-1} + Q_{w\delta} \Big|_{\xi=\pm a} \quad (I.21)$$

$$K_c = D_1 k_2^2 (B^{-1})^T \int_{\xi} P^T (\tilde{A}'_{ce})^T \tilde{D}_c \tilde{A}'_{ce} P d\xi B |_{\varphi=\pm\beta}$$

$$K_{c1} = \frac{1}{2} D_1 k_2^2 (B^{-1})^T \int_{\xi} P^T (\tilde{A}'_{ce})^T \tilde{D}_c^* w_{\xi} P_1^* d\xi B^{-1} |_{\varphi=\pm\beta}$$

$$K_{c2} = \frac{1}{2} D_1 k_2^2 (B^{-1})^T \int_{\xi} (P_1^*)^T w_{\xi} \tilde{D}_c^* w_{\xi} P_1^* d\xi B^{-1} |_{\varphi=\pm\beta}$$

$$Q_c = D_1 k_2^2 (B^{-1})^T \int_{\xi} q_c^T \tilde{B}_c P d\xi B^{-1} + Q_{c\beta} |_{\varphi=\pm\beta}$$

$$D = D_1 \tilde{D}, \quad \tilde{D}_w = D_1 \varphi \tilde{D}_w, \quad \tilde{D}_c = D_1 \tilde{D}_c, \quad \tilde{A}_e[i, j] = A_e[i, j], \quad i, j = 1, 2$$

$$\tilde{A}'_{we} = \tilde{A}'_{we} [1, i], \quad \tilde{A}'_{ce} = \tilde{A}'_{ce} [1, i], \quad i = 1, 2, 3$$

$$D_w^* = \frac{E_w F_w}{D_1 k_2}, \quad D_c^* = \frac{E_c F_c}{D_1 k_2}, \quad a = \frac{L}{2R_m}, \quad \beta = \frac{\pi}{2n}$$

Q, Q_k - векторы поверхностных и контурных сил, приведенные узлам; Q_{β} - вектор локальных сил.

Условия совместности перемещений в узлах конечных элементов имеют вид

$$\begin{aligned} \bar{u}_i^i = \bar{u}_j^{i-1} = \bar{u}_k^{i-n} = \bar{u}_n^{i-n-1}, & \quad \bar{u}_j^i = \bar{u}_i^{i-1} = \bar{u}_n^{i-n} = \bar{u}_k^{i-n+1} \\ \bar{u}_k^i = \bar{u}_n^{i-1} = \bar{u}_i^{i+n} = \bar{u}_j^{i+n+1}, & \quad \bar{u}_n^i = \bar{u}_k^{i+1} = \bar{u}_j^{i+n} = \bar{u}_i^{i+n+1} \end{aligned} \quad (I.2)$$

где $(\bar{u}_k^{i-1}) = [u_k, v_k, w_k, w_{\xi k}, v_{\xi k}, w_{\xi \varphi k}]^T$ - вектор узловых перемещений k -го узла $i-1$ -го конечного элемента, n - число конечных элементов по окружности. Учитывая (I.2) и граничные условия согласно [2], преобразуем систему (I.20) в виду

$$(\bar{K} + \bar{K}_1 + 2\bar{K}_1^T + \bar{K}_2 + \bar{K}_p + \bar{K}_{p1} + 2\bar{K}_{p1}^T + \bar{K}_{p2}) u' = \bar{Q} + \bar{Q}_p \quad (I.21)$$

Здесь \bar{K}, \bar{K}_p - матрицы упругой жесткости оболочки и подкреплений, $\bar{K}_1, \bar{K}_2, \bar{K}_{p1}, \bar{K}_{p2}$ - матрицы геометрической жесткости оболочки, \bar{Q}, \bar{Q}_p - векторы обобщенных узловых сил оболочки.

Матрицы $\bar{K}, \bar{K}_p, \bar{K}_1, \bar{K}_{p1}, \bar{K}_2, \bar{K}_{p2}$ имеют трехленточную блочно-диагональную структуру, размерность блоков которых равна $6 \times (n + 1)$.

Решение системы (I.23) строим методом последовательных приближений в сочетании с шаговым методом по нагрузке. Задается небольшое значение параметра нагрузки. За нулевое приближение берется решение линейной задачи. Выполняется итерационный процесс, в котором нелинейные слагаемые берутся из предыдущей итерации.

Система (I.23) в методе последовательных приближений имеет вид

$$\begin{aligned} \bar{K}' u' &= \bar{Q}', \quad \bar{K}' = \bar{K} + \bar{K}_p \\ \bar{Q}_1 &= \bar{Q} + \bar{Q}_p - (\bar{K}_1 + 2\bar{K}_1^T + \bar{K}_2 + \bar{K}_{p1} + \bar{K}_{p2} + 2K_{p1}^T) u'_{z-1}. \end{aligned} \quad (I.24)$$

На каждой итерации система линейных алгебраических уравнений решается методом квадратного корня по схеме Холецкого [3]. Решив систему (I.25), найдем все компоненты нелинейного напряженно-деформированного состояния оболочки.

2. Устойчивость оболочек. Используя энергетический критерий устойчивости

$$\delta(\delta^2 U) = 0, \quad (2.1)$$

получаем

$$\begin{aligned} \delta(\delta^2 U) &= \delta \left\{ \sum_{i=1}^2 (\delta^2 W_1 + \delta^2 W_2 + \delta^2 W_3 + \delta^2 W_4) + \sum_{i=1}^N (\delta^2 W_{p1} + \delta^2 W_{p2} + \right. \\ &\quad \left. + \delta^2 W_{p3} + \delta^2 W_{p4}) \right\} \delta u' = 0. \end{aligned} \quad (2.2)$$

Выполняя варьирование в (2.2), с учетом (I.20), (I.21), (I.22) и равенств

$$\delta^2 \epsilon_n = \delta \bar{B} \delta \bar{E}, \quad \delta^2 \epsilon_{\text{шн}} = \psi^2 \delta w_\varphi \delta w_\varphi, \quad \delta^2 \epsilon_{\text{сн}} = \delta w_\xi \delta w_\xi, \quad (2.3)$$

находим

$$\left\{ \sum_{i=1}^2 (K_u + K_1^0 + (K_1^0)^T + K_2^0) \delta \bar{u} + \sum_{i=1}^N (K_p + K_{p1}^0 + (K_{p1}^0)^T + K_{p2}^0) \delta \bar{u} \right\} = 0 \quad (2.4)$$

$$K_2^0 = D_1 k_2^2 (B^{-1})^T \iint_S (P^*)^T T_{np}^0 P^* ds B^{-1}$$

$$K_1^0 = D_1 k_2^2 (B^{-1})^T \iint_S P^T \tilde{A}_z^T \bar{D}^* \bar{B}^0 P^* ds B^{-1}$$

$$K_{\omega 1}^0 = D_1 k_2^2 (B^{-1})^T \psi \int_{\xi} P^T (\tilde{A}_{\omega \xi}^*)^T D_{\omega}^* w_{\psi}^0 P_2^* d\psi B^{-1} \Big|_{\xi = \pm a}$$

$$K_{c 1}^0 = D_1 k_2^2 (B^{-1})^T \int_{\xi} P^T (\tilde{A}_{c \xi}^*)^T D_c^* w_{\xi}^0 P_1^* d\xi B^{-1} \Big|_{\psi = \pm b}$$

$$K_{\omega 2}^0 = D_1 k_2^2 (B^{-1})^T \psi \int_{\xi} (P_2^*)^T T_{\omega}^0 P_2^* d\psi B^{-1} \Big|_{\xi = \pm a}$$

$$K_{c 2}^0 = D_1 k_2^2 (B^{-1})^T \int_{\xi} (P_1^*)^T T_c^0 P_1^* d\xi B^{-1} \Big|_{\psi = \pm b}$$

$$T_{np}^0 = \begin{bmatrix} T_{1np}^0 & T_{3np}^0 \\ T_{3np}^0 & T_{2np}^0 \end{bmatrix}, \quad (\bar{B}^0)^T = \begin{bmatrix} w_{\xi}^0 & 0 & w_{\psi}^0 \\ 0 & w_{\psi}^0 & w_{\xi}^0 \end{bmatrix}$$

$$T_{1np}^0 = T_{1e}^0 + \frac{3}{2} \tilde{K}_1 (w_{\xi}^0)^2 + (\tilde{K}_3 + \frac{1}{2} \tilde{K}_2) (w_{\psi}^0)^2$$

$$T_{2np}^0 = T_{2e}^0 + \frac{3}{2} \tilde{K}_1 (w_{\psi}^0)^2 + (\tilde{K}_3 + \frac{1}{2} \tilde{K}_2) (w_{\xi}^0)^2$$

$$T_{3np}^0 = T_{3e}^0 + (2\tilde{K}_3 + \tilde{K}_2) w_{\xi}^0 w_{\psi}^0$$

$$T_{\omega}^0 = T_{\omega e}^0 + \frac{1}{2} D_{\omega}^* (w_{\psi}^0)^2, \quad T_c^0 = T_{c e}^0 + \frac{1}{2} D_c^* (w_{\xi}^0)^2$$

$$\tilde{K}_1 = \frac{12}{t^2}, \quad t = \frac{h}{R}, \quad \tilde{K}_2 = \nu \tilde{K}_1,$$

$$\tilde{K}_3 = \frac{1}{2} (1 - \nu) \tilde{K}_1.$$

Индекс "0" означает исходное состояние. Матрицы K_{ω} , K_c имеют вид (I.21).

Уравнение (2.4) преобразуем с учетом условий совместности перемещений (I.22) к виду

$$\tilde{K}^0 \delta u' = 0$$

$$\tilde{K}^0 = \bar{K} + \bar{K}_1^0 + (\bar{K}_1^0)^T + \bar{K}_2^0 + \bar{K}_p + \bar{K}_{p1} + (\bar{K}_{p1}^0)^T + \bar{K}_{p2}^0.$$

Матрицы \bar{K}_1^0 , \bar{K}_2^0 , \bar{K}_p , \bar{K}_{p1}^0 , \bar{K}_{p2}^0 имеют такую же структуру как и матрица \bar{K} в пункте I.

Нетривиальное решение системы (2.6) соответствует равенству нулю ее определителя

$$|\tilde{K}^0| = 0. \quad (2.7)$$

Критическая нагрузка находится как наименьший корень уравнения (2.7). Это удобно делать графически, насчитывая определитель для ряда значений параметра нагрузки. При этом определитель (2.7) представляется произведением

$$|\tilde{K}^0| = \prod_{i=1}^{6 \times (m+1)(n+1)} M_i$$

$$M_1 = k_{11}, \quad M_i = k_{ii} - \sum_{\ell=1}^{i-1} \frac{a_{i\ell} a_{\ell i}}{a_{\ell\ell}}, \quad a_{ij} = k_{ij} - \sum_{\ell=1}^{i-1} \frac{a_{i\ell} a_{\ell j}}{a_{\ell\ell}} \quad (2.8)$$

и легко вычисляется при любом числе конечных элементов. Полученный алгоритм реализован программой для машины БЭСМ-6 и позволяет исследовать нелинейное деформирование и устойчивость подкрепленной дискретно стрингерами и шпангоутами переменной жесткости цилиндрической оболочки при произвольном нагружении и при любых граничных условиях.

3. Пример. В примере была рассмотрена шарнирно-опертая цилиндрическая оболочка с $L/R=1$, $R/h=100$, симметрично подкрепленная по середине шпангоутом постоянной жесткости и нагруженная несимметричным давлением, изменяющимся по закону

$$q_z = q_z^0 (1 + \cos \varphi). \quad (3.1)$$

На рис. 3 приведен график зависимости безразмерных параметров $K_g = q/q_g$, $K_g^* = q/\bar{q}_g$, $\bar{K}_g = q_p/q_g$, $K_g^* = q_p/\bar{q}_g$ (q - критическая амплитуда неоднородного давления, q_p - предельная амплитуда неоднородного давления, которая соответствует интенсивному возрастанию прогибов и углов поворота, q_g - верхнее критическое однородное давление для гладкой оболочки по формуле Саутуалла-Попковича, \bar{q}_g - верхнее критическое однородное давление для конструктивно-ортоотропной оболочки [4] при допущении безмоментности исходного состояния) в зависимости от параметра $\bar{F} = (E_{ш} F_{ш}) / (D_1 K_2)$. При этом параметр $\bar{J} = (E_{ш} J_{ш}) / (D_1 R)$ менялся пропорционально параметру \bar{F} , т.е. $\bar{J} = 10^{-2} \bar{F}$. Изгибом шпангоута из своей плоскости и кручением его пренебрегаем. С увеличением параметра \bar{F} величина K_g растет, а величина K_g^* сначала растет, потом падает. Анализ этих кривых показывает, что расчет по q_g и \bar{q}_g может привести к

существенной до 100% для q_g и 40% для \bar{q}_g погрешности. Из рисунка видно, что критические значения параметров \bar{K}_g и \bar{K}_g^* лежат выше критических значений параметров K_g и K_g^* , т.е. оболочка раньше теряет устойчивость, чем достигает предельного состояния.

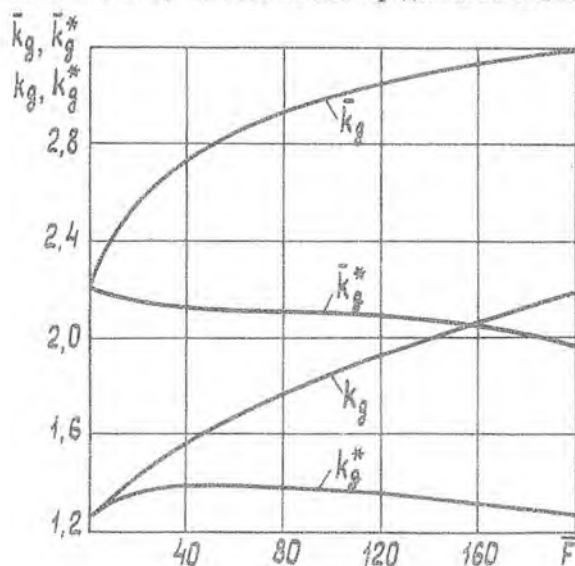


Рис. 3

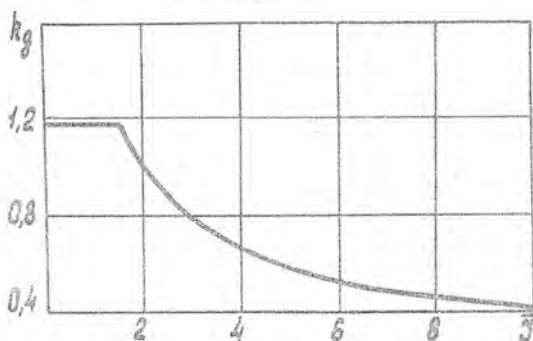


Рис. 4

На рис. 4 показан график зависимости параметра $K_g = q/\bar{q}_g$ от параметра J для оболочки, нагруженной однородным давлением ($\bar{F} = 1000$). Видно, что с увеличением параметра J величина K_g сначала не зависит от J и при $J > 1.52$ падает. Это объясняется

тем, что при $\bar{J} < 1.52$ форма потери устойчивости носит, общий характер и формулы по ортотропной схеме хорошо согласуются с результатами расчета. При этом погрешность порядка 18% связана с влиянием моментности исходного состояния. При $\bar{J} > 1.52$ форма потери устойчивости оболочки носит местный характер, т.е. оболочка теряет устойчивость между шпангоутами. Формулы ортотропной схемы дают существенную погрешность, которая увеличивается с увеличением параметра \bar{J} .

Все результаты получены при числе конечных элементов, равном $14 \times 10 \times L/R$. При этом обеспечивается погрешность решения, не превышающая 5%.

Л и т е р а т у р а

1. Gallagher R.H. and Padlog J. Discrete element approach to structural instability analysis. - AIAA, 1963, N1, p. 1437-1439.
2. Backus W.E., Mello R.M. Some applications of finite element analysis to shell buckling prediction. - Proc. Second. Conf. on Matrix Methods in Struct. Mech., Ohio, 1969, p. 42-46.
3. Rao G.V., Radhamahan S.K., Raju J.S. Reinvestigation of buckling of shells of revolution by a refined finite element. - AIAA, 1974, N1, p. 51-54.
4. Кислюцкий В.Н., Сахаров А.С., Соловей Н.А. Моментная схема метода конечных элементов в геометрически нелинейных задачах прочности и устойчивости оболочек. - Проблемы прочности, 1977, N7, с. 25-32.
5. Rao G. Venkateswara, Raju I. J., Radhamahan S.K. Buckling of shells by finite element method. - J. Eng. Mech. Div. Proc. Amer. Soc. Civ. Eng., 1974, 100, N5, p. 1092-1096.
6. Кабанов В.В., Железнов Л.П. Исследование устойчивости цилиндрических оболочек при неоднородном напряженном состоянии методом конечных элементов. - Прикладная механика, 1978, т. XIV, N3, с. 45-52.
7. Постнов В.А., Корнеев В.С. Изгиб и устойчивость оболочек вращения. - Тр. X Всес. конф. по теории оболочек и пластин. Кутаиси, 1975, т. I. - Тбилиси: Мещнкереба, 1975, с. 635-644.
8. Куранов Б.А. Прочность и устойчивость оболочек вращения, подкрепленных нерегулярным набором кольцевых ребер. Расчеты на прочность. - М.: Машиностроение, 1977. - 326 с.
9. Каятин, Клауд. Искривленный дискретный элемент цилиндрической оболочки. - Ракетная техника и космонавтика, 1968, т. 6, N6, с. 82-88.
10. Постнов В.А., Хархурим И.А. Метод конечных элементов в расчетах судовых конструкций. - Д.: Судостроение, 1974. - 344 с.
11. Григольок Э.И., Кабанов В.В. Устойчивость круговых цилиндрических оболочек. - Итоги науки. Механика твердых деформируемых тел. - М.: ВИНИТИ, 1969. - 348 с.